



بِسْمِ اللّٰهِ الرَّحْمٰنِ الرَّحِيْمِ



دانشگاه کردستان

دانشکده علوم

گروه فیزیک

عنوان:

ساخت و بررسی خواص مغناطیسی نانوسيم های آلیاژی آهن-روی

پژوهشگر:

محمد کریمی

استاد راهنما:

دکتر سعید سلطانیان

استاد مشاور:

دکتر آرش سروی

پایان نامه کارشناسی ارشد رشته فیزیک گرایش حالت جامد

تیر ماه ۱۳۸۹

کلیه حقوق مادی و معنوی مترتب بر نتایج مطالعات،

ابتكارات و نوآوری های ناشی از تحقیق موضوع

این پایان نامه (رساله) متعلق به دانشگاه کردستان است.

**\* \* \* تعهد نامه \* \* \***

اینجانب محمد کریمی دانشجوی کارشناسی ارشد رشته فیزیک گرایش حالت جامد دانشگاه کردستان، دانشکده علوم گروه فیزیک تعهد می نمایم که محتوای این پایان نامه نتیجه تلاش و تحقیقات خود بوده و از جایی کپی برداری نشده و به پایان رسانیدن آن نتیجه تلاش و مطالعات مستمر اینجانب و راهنمایی و مشاوره استادید بوده است.

با تقدیم احترام

محمد کریمی

۱۳۸۹/۴/۱

تقدیم به تمامی پدران و مادرانی که با لقمه‌ی حلال و  
دامن پاک، فرزندان خود را پرورش داده‌اند و به آنان که  
دعای خیرشان بدرقه‌ی راهم بود.

## قدردانی و تشکر

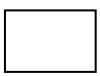
اتمام این پایان نامه را مدیون مدیریت بالا و راهنمایی های استاد گرانقدر جناب آقای دکتر سعید سلطانیان می دانم و از ایشان کمال تشکر و قدردانی را دارم. همچنین از زحمات بی دریغ استاد مشاورم جناب آقای دکتر آرش سروری قدردانی مینمایم. از خانم دکتر نجفی و آقای مهندس آفتتابی به دلیل یاری ها و راهنمایی های بی چشمداشت ایشان بسیار سپاسگزارم

## چکیده

در این پایان نامه نتایج مربوط به ساخت و بررسی خواص نانوسيم های آلیاژی آهن-روی ارائه شده است. اين نانوسيم ها به روش الکتروانباشت متناوب و با استفاده از قالب های آلومینیمی آندی ساخته شده‌اند. قالب‌های آلومینیمی آندی با روش آندایز دو مرحله ای ورقه‌های آلومینومی با درصد خلوص ۹۹/۹۹۹ ساخته شده‌اند. ابتدا نمونه‌ها در يك سلول الکتروشیمیایی حاوی اسید پرکلریک و اتانول در ولتاژ ۲۰ ولت الکتروپولیش شدند. اثر خلوص آلومینیوم بر کیفیت سطح الکتروپولیش شده به کمک میکروسکوپ نیروی اتمی بررسی شد. نمونه‌های پولیش شده در اسید اکسالیک ۳٪ مولار و ولتاژ آندایز ۴۰ ولت در دو مرحله آندایز شدند. تصاویر میکروسکوپ الکترون روشنی نشان می‌دهند که قالب‌ها دارای حفره‌های استوانه‌ای به قطر متوسط حدود ۳۵ نانومتر و فاصله‌ی بین حفره‌ای حدود ۱۰۰ نانومتر در هر حوزه هستند. در مرحله‌ی بعد با استفاده از اين قالب‌ها، نانوسيم‌های آلیاژی آهن-روی با تکنيک الکتروانباشت متناوب ساخته می‌شوند. فرآيند الکتروانباشت در يك سلول الکتروشیمیایی با ولتاژ قله تا قله ۳۰ ولت و فرکانس ۲۰۰ هرتز سينوسی انجام شد. سپس، اثر تابکاري بر خواص نانوسيم‌ها بررسی شد. نتایج آزمایش‌های مربوط به اندازه‌گیری خواص مغناطيسی نانوسيم‌ها نشان می‌دهند که مغناطش نانوسيم‌ها دارای ناهمسانگری شدیدی است. الگوی پراش پرتوی ایکس نشان می‌دهد که نانوسيم‌های ساخته شده ساختار شبکه‌ی مکعبی مرکز حجمی با راستای (۱۱۰) منطبق بر محور نانوسيم دارند. میدان وادارندگی و نسبت مربعی بودن نانوسيم های آلیاژی آهن-روی با افزایش مقدار روی در محلول های انباست کاهش، و سپس با تابکاري افزایش می‌یابند. به عنوان مثال، میدان وادارندگی و نسبت مربعی بودن نانوسيم های ساخته شده از محلول انباست با نسبت درصد مولی آهن به روی ۹۰ به ۱۰ و فرکانس الکتروانباشت ۲۰۰ هرتز از Oe ۷۳۰ و ۷۷٪ با تابکاري در دمای ۵۷۰ درجه‌ی سانتيگراد به ترتیب به Oe ۱۴۲۰ و ۰/۹۴ افزایش یافتند. در پایان اثر فرکانس الکتروانباشت بر خواص مغناطيسی نانوسيم های ساخته شده از محلول انباست با نسبت درصد مولی آهن به روی ۹۰ به ۱۰ بررسی شد. بهترین مقادير میدان وادارندگی و نسبت مربعی بودن نانوسيم های آلیاژی آهن-روی تقریباً برابر با Oe ۱۵۸۵ و ۰/۹۹ بدست آمدند که مربوط به نانوسيم های ساخته شده از محلول انباست با نسبت درصد مولی آهن به روی ۹۰ به ۱۰، فرکانس الکتروانباشت ۱۷۵۰ و نیز تابکاري شده در دمای ۵۷۰ درجه‌ی سانتيگراد هستند.

كلمات کليدي:

نانوسيم‌های آليازی آهن- روی، اکسید آلومینیوم آندی، الکتروانیاشت، میدان وادارندگی، نسبت مربعی  
بودن



## فهرست مطالب

صفحه

عنوان

---

۱	مقدمه
۳	فصل اول: نانوسیم ها
۳	۱-۱ مقدمه
۴	۲-۱ ساخت نانوسیم
۴	۱-۲-۱ ساخت نانوسیم به کمک قالب
۹	۲-۲-۱ روش VLS برای ساخت نانوسیم ها
۹	۳-۲-۱ رشد به کمک افزار
۱۱	۴-۲-۱ روش های دیگر ساخت
۱۳	۳-۱ دستگاه های مورد استفاده برای مطالعه نانوسیم ها
۱۳	۱-۳-۱ پراش X-Ray
۱۶	۲-۳-۱ میکروسکوپ الکترون عبوری (TEM)
۱۷	۳-۳-۱ میکروسکوپ الکترون روبشی (SEM)
۱۸	۴-۳-۱ میکروسکوپ های پروب روبشی
۲۱	۴-۱ خواص ترابری
۲۲	۵-۱ مقاومت مغناطیسی در نانوسیم ها
۲۲	۶-۱ کاربردها
۲۵	فصل دوم: مروری بر خواص مغناطیسی
۲۵	۱-۲ مقدمه
۲۶	۲-۲ گشتاورهای مغناطیسی
۲۷	۳-۲ دلی مغناطیسی و پارامغناطیسی
۲۸	۴-۲ حالت منظم مغناطیسی
۳۳	۵-۲ ناهمسانگردی مغناطیسی
۳۴	۱-۵-۲ ناهمسانگردی در بلورهای مکعبی
۳۶	۲-۵-۲ منشاء فیزیکی ناهمسانگردی بلوری
۳۷	۳-۵-۲ ناهمسانگردی شکلی
۳۸	۴-۵-۲ ناهمسانگردی تنشی

۳۹	۶-۲ دستگاههای اندازه‌گیری خواص مغناطیسی
۳۹	۱-۶-۲ مغناطیسی سنج نمونه- ارتعاشی (VSM)
۴۱	۲-۶-۲ مغناطیسنج گرادیتی (میان) متناوب
۴۲	۳-۶-۲ مغناطیسی سنج SQUID
۴۳	۷-۲ حلقه‌ی پسماند
۴۴	۱-۷-۲ حلقه‌های پسماند مورد ریز برای کاربردهای مختلف
۴۵	۸-۲ نانوذرات مغناطیسی
۴۶	۱-۸-۲ خواص مغناطیسی نانوذرات فلزی و اکسید فلزی
۴۶	۹-۲ اثرات نانوساختار شدن مواد حجمی روی خواص مغناطیسی
۴۸	۱-۹-۲ سوپرپارامغناطیسی
۵۰	۲-۹-۲ ناهمسانگردی تبادلی
۵۱	۱۰-۲ نانوسیم‌های مغناطیسی
۵۱	۲-۱۰-۲ تاثیر عوامل مختلف بر خواص مغناطیسی نانوسیم‌ها
۵۶	فصل سوم: بیشترین ساخت قالب آلومینی آندی و نانوسیم‌های آکلزی آهن
۵۶	۱-۳ مقدمه
۵۷	۲-۳ الکتروپولائیش
۶۰	۲-۲-۳ تاثیر شرایط مختلف الکتروپولائیش بر کفیعت سطح آلومینیوم
۶۷	۳-۳ آندازی
۶۸	۱-۳-۳ ساختار هندسی آلومینی حفره‌دار آندی
۶۹	۲-۳-۳ مکاریشم رشد آلومینی حفره‌دار
۷۳	۳-۳-۳ تاثیر شرایط مختلف بر خودآرایی حفره‌ها
۷۷	۴-۳-۳ چگالی جرطف آندازی
۷۸	۵-۳-۳ آندازی دو مرحله‌ای
۷۹	۴-۳ ساخت آرایه‌های بسریع مرتب از نانوحفره‌ها با استفاده از بیش آماده‌سازی آلومینیوم
۸۳	۳-۳ الکتروانباشت
۸۳	۱-۵-۳ مکاریشم الکتروانباشت
۸۳	۲-۵-۳ الکتروانباشت DC
۸۴	۳-۵-۳ تکریک‌های برداشتن لایه‌ی سدی و بازگشایی دهانه‌ی حفره‌ها برای الکتروانباشت DC
۸۵	۴-۵-۳ الکتروانباشت AC

۸۷	۵-۵-۳ اثر لایی سدی
۸۸	۶-۵-۳ نازکسازی لایی سدی برای الکتروانباشت AC
۸۹	۷-۵-۳ الکتروانباشت پالسی
۹۰	۸-۵-۳ تاثیر شرایط مختلف الکتروانباشت AC بر کمپیت رشد نانوسریم ها
۹۵	۶-۳ تابکاری
۹۹	۷-۳ پیشنهاد ساخت نانوسریم های آلکلی آهن
فصل چهارم: شرح کارهای آزمایشگاهی برای ساخت نانوسریم های آهن- روی و بررسی خواص مغناطیسی آنها ۱۰۵	
۱۰۵	۴-۱ مقدمه
۱۰۵	۴-۲ ساخت قالب آلومینیمی آندی
۱۰۵	۴-۲-۱ آمادهسازی نمونهها قبل از الکتروپولائیش
۱۰۶	۴-۲-۲ الکتروپولائیش
۱۱۲	۴-۲-۳ اثر خلوص آلومینیوم بر الکتروپولائیش
۱۱۸	۴-۲-۴ آندای مرحله‌ی اول
۱۲۰	۴-۲-۵ سونش
۱۲۰	۴-۲-۶ آندای مرحله‌ی دوم و نازک سازی لایی سدی
۱۲۴	۴-۳ الکتروانباشت
۱۲۷	۴-۳-۱ نتایج و بررسی رفتار مغناطیسی نانوسریم ها
۱۳۴	۴-۴ مطالعه اثر تابکاری بر ساختار بلوری و خواص مغناطیسی نانوسریم های آهن- روی
۱۳۴	۴-۴-۱ نتایج و بررسی اثر تابکاری بر خواص مغناطیسی نانوسریم ها
۱۳۹	۴-۵ بررسی اثر فرکانس بر میدان و ادارندگی و نسبت مربعی بودن نانوسيم های $Fe_{90}Zn_{10}$
۱۴۳	مراجع

## فهرست شکل‌ها

### صفحه

### عنوان

۵	شکل ۱-۱: تصویر SEM از سطح قالب آلومینی آندی.
۵	شکل ۱-۲: تصویر SEM از غشای پلی‌کربنات شیار- حکاکی شده با قطر $10 \mu\text{m}$ .
۷	شکل ۱-۳-۱: (a) تصویر TEM از یک نانوسیم چند لایه‌ی Co/Cu. (b) تصویری با بزرگنمایی بالا از نمونه.
۹	شکل ۱-۴: طرح کلی رشد نانوسیم سیلیکون با مکانیسم VLS.
۱۱	شکل ۱-۵: چیدمان تجربی ساخت نانوسیم Si به کمک کند و کاش لیزر.
۱۲	شکل ۱-۶: طرح کلی از الکتروانباشت لبه پله‌ای برای ساخت نانوسیمهای مولیبدنوم.
۱۴	شکل ۱-۷: پراش X-Ray توسط صفحات اتمی.
۱۵	شکل ۱-۸: طرح پراش X-Ray از نانوسیمهای ZnO.
۱۶	شکل ۱-۹: یک مدل پیشرفتی از TEM.
۱۸	شکل ۱-۱۰: تصویری از یک SEM پیشرفتی.
۱۹	شکل ۱-۱۲-۱: طرح کلی STM، X، Y، و Z جهت‌های حرکت پیزوالکتریک، t تیپ، و S نمونه است.
۲۰	شکل ۱-۱۳-۱: طرح کلی AFM.

### فصل دوم

۳۰	شکل ۲-۱: منحنی اسلیت- بته نشانده‌نده تغییر ثابت تبادلی با نسبت $r_{ab}/r_d$ .
۳۲	شکل ۲-۲: آرایش گشتاورهای مغناطیسی در سلول واحد آنتی فرومغناطیس YMn <sub>2</sub> Ge <sub>2</sub> . دایره‌های خالی اتم‌های Y، دایره‌های توپر اتم‌های Ge، و پیکان‌ها Mn را نشان می‌دهند.
۳۴	شکل ۲-۳: منحنی‌های مغناطش برای تکبلورهای آهن.
۳۵	شکل ۲-۴: منحنی‌های مغناطش برای تکبلورهای نیکل.
۳۶	شکل ۲-۵: برهمنکنش‌های اسپین- شبکه- اوربیتال.
۳۸	شکل ۲-۶: شبکه کره کشیده‌ی مغناطیسی.
۴۸	شکل ۲-۷: تاثیرات تنش‌های کششی (+) و فشاری (-) بر منحنی مغناطش آهن؛ ۵۵ MPa.

شکل ۲-۸: طرح کلی مغناطیس سنج نمونه گیری ارتعاشی با VSM . ۴۰

شکل ۲-۹: منبع تغذیه سمت چپ، وسایل کنترل و اندازه گیری سمت راست..... ۴۰

شکل ۲-۱۰: طرح کلی از AFGM ..... ۴۵

شکل ۱۱-۲: حسگر شار مغناطیسی SQUID ..... ۴۷

شکل ۱۲-۲: طرح حلقه های مغناطیش برای یک ماده فرومغناطیسی

شکل ۱۳-۲: شکل های هندسی نانوساختار های مختلف : زنجیره های ذرات ریز، (b) نانوسیم نواری، (c) نانوسیم استوانه ای، (d) نانونقطه، (e) نانو اتصال، (f) نانولوله، (g) پاد نقطه، (h) سطح پله ای پیوسته، (j) نانو حلقه، و (k) فیلم های نازک نقش دار..... ۴۷

شکل ۱۵-۲: وابستگی مغناطیش اشباع فریت روی به اندازه ی ذره که با مغناطیش اشباع یک ذره ۹۰ nm بهنجر شده است..... ۴۷

شکل ۱۶-۲: تغییر میدان و ادارندگی ذاتی ( $H_{ci}$ ) با قطر ذره ..... ۴۹

شکل ۱۷-۲: حلقه های هیسترزیس برای ذرات سوبر پارامغناطیس ..... ۴۹

شکل ۱۸-۲: حلقه های هیسترزیس برای ذرات کبالت اکسید - اندود در ۷۷K حلقه های (1) از سرد کردن نمونه در میدان ۱۰ kOe در جهت مثبت، و (2) حلقه های از سرد کردن نمونه در میدان صفر بدست آمده است..... ۵۰

شکل ۱۹-۲: حلقه های هسترزیس مغناطیسی برای نانوسیم های Fe. میدان اعمالی موازی و عمود بر محور نانوسیم است. قطر متوسط نانوسیم ها حدود ۱۰ nm است ..... ۵۲

شکل ۲۰-۲: میدان و ادارندگی به عنوان تابعی از قطر نانوسیم (d<sub>w</sub>) برای آهن، کبالت، و نیکل ..... ۵۳

شکل ۲۱-۲: تغییرات میدان و ادارندگی با دما برای نانوسیم های آهن با قطر های مختلف ..... ۵۴

شکل ۲۲-۲: میدان و ادارندگی به عنوان تابعی از نسبت طول به قطر نانوسیم ..... ۵۵

### فصل سوم

۱-۳: نمونه ای از نحوه چیدمان تجهیزات برای انجام الکتروپولیش ..... ۵۸

شکل ۲-۳: تصویر AFM از سطح آلومینیوم بعد از الکتروپولیش با محلول اسید پر کلریک - الکل در ۲۰.۷ ..... ۵۸

شکل ۳-۳: مکانسیم الکتروپولیش ..... ۵۹

شکل ۴-۳: چگالی جریان آند به عنوان تابعی از ولتاژ سلول برای الکتروپولیش مس ..... ۶۰

شکل ۳-۵: تصاویر AFM از سطح آلومینیوم الکتروپولیش شده با شرایط الکتروپولیش مختلف در ۱۵ °C ..... ۶۱

شکل ۳-۶: اثر دما روی فاصله‌ی قله تا قله ساختار سطح برای نمونه‌های پولیش شده در ولتاژ‌های ۴۰ و ۶۰ ..... ۶۲

شکل ۳-۷: اثر دما روی ارتفاع سطحی نمونه‌های پولیش شده در ولتاژ‌های ۴۰ و ۶۰ ..... ۶۳

شکل ۳-۸: منحنی‌های جریان-پتانسیل نمونه‌های آلمینیومی تهیه شده در محلول‌های با نسبت‌های حجمی مختلف از اسید پرکلریک به اتانول در  $27^{\circ}\text{C}$  ..... ۶۴

شکل ۳-۹: الگویی از تشکیل خطوط با فاصله‌ی مختلف. مقدار اتانول در فرآیند‌های a، b، و c یکسان نیست و به ترتیب افزایش یافته است ..... ۶۵

شکل ۳-۱۰: منحنی‌های جرطی-پتانسیل برای نمونه‌های آلمینیومی پولیش شده در دماهای مختلف با محلولی شامل اسید پرکلریک و اتانول با نسبت ۱ به ۸ ..... ۶۶

شکل ۳-۱۱: طرح شمایی از چیدمان آزمایشگاهی برای آندازی ..... ۶۷

شکل ۳-۱۲: نمایی از ساختار آلمینیای آندی متخلخل ..... ۶۸

شکل ۳-۱۳: طرح کلی از مقطع عرضی نانوحفره ..... ۶۹

شکل ۳-۱۴: طرحی از ساختار قالب آلمینیای نانوحفره دار ..... ۷۰

شکل ۳-۱۵: منحنی جریان آندازی بر حسب زمان آندازی برای نمونه‌ی آندازی شده در اسید اکسالیک ..... ۷۱

شکل ۳-۱۶: منحنی جریان بر حسب زمان آندازی بدست آمده برای نمونه‌ی آندازی شده در اسید اکسالیک ..... ۷۲

شکل ۳-۱۷: نمایشی از انتقال یون‌ها طی فرآیند آندازی ..... ۷۳

شکل ۳-۱۸: فاصله‌ای بین حفره‌ای بر حسب ولتاژ آندازی برای اسیدهای مختلف ..... ۷۴

شکل ۳-۱۹: وابستگی قطر حفره (a) و فاصله‌ی بین حفره‌ای (b) به غلظت اسید اکسالیک در ولتاژ آندازی متفاوت ..... ۷۵

شکل ۳-۲۰: چگالی جریان آندازی بر حسب دمای الکتروولیت اسید اکسالیک  $M_{\text{۳/۰}} \cdot M_{\text{۰/۵}}$  ..... ۷۶

شکل ۳-۲۱: وابستگی نظم ساختار حفره‌ها به زمان آندازی در الکتروولیت اسید سولفوریک  $M_{\text{۰/۰}} \cdot M_{\text{۵/۰}}$  (a) ۶ دقیقه، (b) ۳۶ دقیقه، (c) ۷۱ دقیقه ..... ۷۷

شکل ۳-۲۲: منحنی‌های جریان-زمان آندازی در اسید سولفوریک در دمای  $20^{\circ}\text{C}$  و با پتانسیل‌های مختلف ..... ۷۸

شکل ۳-۲۳: طرح کلی از آندازی دو مرحله‌ای برای تهیه‌ی آلمینیای متخلخل آندی با حفره‌های مستقیم ..... ۷۹

- شکل ۳-۲۴: طرح کلی از آماده سازی آلومینای متخلخل آندی با آرایش حفره ای ایده آل با استفاده از پیش آمده سازی ..... ۸۰
- شکل ۳-۲۵: تصویر از نمای سطحی آلومینیوم آندازی شده. تنها در نیمهٔ سمت راست از فرآیند پیش آمده سازی استفاده شده است. ..... ۸۱
- شکل ۳-۲۶: تصویر SEM نمای عرضی حفره های آلومینای آندی، ساخته شده به کمک فرآیند پیش آمده سازی. ..... ۸۳
- شکل ۳-۲۷: ریزنگار SEM از آلومینای متخلخل آندی با دهانه های (a) مربعی و (b) مثلثی. ..... ۸۳
- شکل ۳-۲۸: طرز برداشتن لایهٔ سدی برای آسان کردن الکتروانباشت DC ..... ۸۵
- شکل ۳-۲۹: طرحی از یک سلول الکتروشیمیایی برای انباشت نانوسیم. ..... ۸۶
- شکل ۳-۳۰: داده های EIS از اندازه هی آمپدانس قالب آلومینا ب حسب فرکانس ..... ۸۷
- شکل ۳-۳۱: مدار معادل استفاده شده برای مدل سازی قالب آلومینای نانو حفره دار. ..... ۸۸
- شکل ۳-۳۲: ساختار قالب آلومینا بعد از آندازی دو مرحله ای. آندازی دوم در ولتاژ های پایین موجب تشکیل حفره در لایهٔ سدی اولیه می شوند. ..... ۸۹
- شکل ۳-۳۳: نمایشی از موج سینوسی پالسی با زمان خاموشی ۱۰۰ ms ..... ۹۰
- شکل ۳-۳۴: تصویر SEM از پرشدگی حفره ها توسط نانوسیم های آهن ..... ۹۱
- شکل ۳-۳۵: میانگین سرعت پرشدن حفره ها به عنوان تابعی از PH الکترولیت ..... ۹۲
- شکل ۳-۳۶: میانگین سرعت پرشده حفره ها به عنوان تابعی از ولتاژ ..... ۹۳
- شکل ۳-۳۷: میانگین سرعت انباشت بر حسب فرکانس در ولتاژ ۲۰۷ شکل ۳-۳۷: میدان و ادارندگی بر حسب فرکانس برای نانوسیم های آهن ..... ۹۳
- شکل ۳-۳۸: میدان و ادارندگی نانوسیم های آهن بر حسب فرکانس الکتروانباشت. ..... ۹۴
- شکل ۳-۳۹: نسبت مربعی بودن نانوسیم های آهن بر حسب فرکانس الکتروانباشت. ..... ۹۵
- شکل ۳-۴۰: و ادارندگی نانوسیم های Fe به عنوان تابعی از قطر نانوسیم های تابکاری شده در دما های مختلف؛ مقادیر در K ۳۰۰ اندازه گیری شده اند ..... ۹۶
- شکل ۳-۴۱: و ادارندگی نانوسیم های Fe به عنوان تابعی از قطر نانوسیم های تابکاری شده در دمای ۳۰۰°C (اندازه گیری در K ۵ انجام شده است). ..... ۹۷

..... شکل ۳-۴۲: الگوی پراش از نانوسیم‌های با قطر مختلف.	۹۸
..... شکل ۳-۴۳: طرح‌های پراش از نانوسیم‌های تابکاری شده در دماهای مختلف.	۹۸
..... شکل ۳-۴۴: میدان وادارندگی و ضریب مربعی بر حسب مقدار آهن موجود در نمونه، (  ) میدان خارجی موازی با محور نانوسیم و (⊥) میدان خارجی عمود بر محور نانوسیم.	۹۹
..... شکل ۳-۴۵: (a) میدان وادارندگی و (b) نسبت مربعی بودن برای نانوسیم‌های $Fe_xCo_{1-x}$ با دماهای تابکاری مختلف.	۱۰۰
..... شکل ۳-۴۶: میدان وادارندگی بر حسب درصد آهن موجود در نانوسیم‌های آلیاژی Fe-Pd قبل و بعد از تابکاری.	۱۰۱
..... شکل ۳-۴۷: نسبت مربعی بودن بر حسب درصد آهن موجود در نانوسیم‌های آلیاژی Fe-Pd قبل و بعد از تابکاری.	۱۰۲
..... شکل ۳-۴۸: طرح‌های پراش XRD نانوسیم‌های $Fe_{60}Pb_{40}$ در (a) دمای اتاق و بعد از تابکاری در دماهای مختلف؛ (b).	۱۰۳
..... شکل ۳-۴۹: اندازه دانه‌های بلوری آهن بر حسب دمای تابکاری.	۱۰۳
..... شکل ۳-۵۰: مقدار $M_r/M_s$ و $H_c$ برای نانوسیم $Fe_{60}Pb_{40}$ بر حسب تابعی از دمای تابکاری.	۱۰۴
<b>فصل چهارم</b>	
..... شکل ۴-۱: چیدمان آزمایشگاهی برای الکتروپولیش آلومینیوم.	۱۰۶
..... شکل ۴-۲: نمودار جریان بر حسب زمان در فرآیند الکتروپولیش.	۱۰۷
..... شکل ۴-۳: تصاویر AFM دو بعدی از سطح آلومینیوم قبل از الکترپولیش.	۱۰۸
..... شکل ۴-۴: تصاویر AFM سه بعدی از سطح آلومینیوم قبل از الکتروپولیش؛ تصاویر الف و ب به ترتیب تصاویر سه بعدی متناظر با تصاویر الف و ب از شکل ۳-۴ می‌باشند.	۱۰۹
..... شکل ۴-۵: تصاویر AFM دو بعدی از سطح آلومینیوم بعد از الکترپولیش.	۱۱۰
..... شکل ۴-۶: تصاویر AFM سه بعدی از سطح آلومینیوم بعد از الکتروپولیش؛ تصاویر الف و ب به ترتیب تصاویر سه بعدی متناظر با تصاویر الف و ب از شکل ۴-۴ می‌باشند.	۱۱
..... شکل ۴-۷: تصاویر AFM دو بعدی از سطح آلومینیوم با خلوص ۹۹/۹۶ قبل از الکترپولیش.	۱۱۳

شکل ۴-۱: تصاویر AFM سه بعدی از سطح آلومینیوم قبل از الکتروپولیش؛ تصاویر الف و ب به ترتیب تصاویر سه بعدی متناظر با تصاویر الف و ب از شکل ۷-۴ می‌باشند..... ۱۱۴

شکل ۴-۲: (الف) تصاویر AFM دو بعدی و (ب) سه بعدی از سطح آلومینیوم با خلوص ۹۹/۹۶ بعد از الکتروپولیش..... ۱۱۵

شکل ۴-۳: تصاویر AFM دو بعدی از سطح آلومینیوم با خلوص ۹۹/۹۶ بعد از الکتروپولیش..... ۱۱۶

شکل ۴-۴: تصاویر AFM سه بعدی از سطح آلومینیوم با خلوص ۹۹/۹۶ بعد از الکتروپولیش؛ تصاویر الف و ب به ترتیب تصاویر سه بعدی متناظر با تصاویر الف و ب از شکل ۹-۴ می‌باشند..... ۱۱۷

شکل ۴-۵: نمودار جریان بر حسب زمان در ۴۰ دقیقه‌ی ابتدایی آندازی مرحله‌ی اول..... ۱۱۸

شکل ۴-۶: تصویر AFM دو بعدی از آرایش نانوحفره در قالب آلومینای آندی پس از آندازی مرحله‌ی اول..... ۱۱۹

شکل ۴-۷: تصویر AFM دو بعدی از آرایش نانوحفره در قالب آلومینای آندی پس از آندازی مرحله‌ی اول..... ۱۲۰

شکل ۴-۸: سیستم استفاده شده برای آندازی مرحله‌ی دوم..... ۱۲۱

شکل ۴-۹: تغییرات ولتاژ اعمالی بر حسب زمان در مرحله‌ی نازک سازی لایه سدی..... ۱۲۲

شکل ۴-۱۰: تغییرات جریان بر حسب زمان در آندازی مرحله دوم و مرحله‌ی نازک سازی لایه سدی..... ۱۲۳

شکل ۴-۱۱: تصویر SEM از آرایش نانوحفره‌ها در سطح قالب آلومینای آندی..... ۱۲۴

شکل ۴-۱۲: تصویر SEM از مقطع عرضی قالب آلومینای آندی..... ۱۲۴

شکل ۴-۱۳: تصویر SEM نانوسیم‌های  $Fe_{90}Zn_{10}$  با زمان الکتروانباست ۵ دقیقه..... ۱۲۶

شکل ۴-۱۴: تصویر SEM نانوسیم‌های  $Fe_{90}Zn_{10}$  با زمان الکتروانباست ۵ دقیقه..... ۱۲۶

شکل ۴-۱۵: حلقه‌های پسماند نانوسیم Fe..... ۱۲۶

شکل ۴-۱۶: حلقه‌های پسماند نانوسیم‌های  $Fe_{100-x}Zn_x$ ..... ۱۲۸

شکل ۴-۱۷: تغییر میدان واحد اندگی و نسبت مربعی بودن نانوسیم  $Fe_{100-x}Zn_x$  بر حسب درصد مولی Zn محلول انباست..... ۱۲۸

شکل ۴-۱۸: تغییر میدان واحد سطح نانوسیم‌های  $Fe_{100-x}Zn_x$  بر حسب درصد مولی Zn محلول انباست..... ۱۲۹

شکل ۴-۱۹: الگوی EDX نانوسیم  $Fe_{90}Zn_{10}$  انباست شده در قالب آلومینا آندی..... ۱۳۰

شکل ۴-۲۰: الگوی پراش نانوسیم آهن قبل از تابکاری..... ۱۳۱

- شکل ۲۸-۴: الگوی پراش نانوسيم های  $Fe_{100-x}Zn_x$  قبل از تابکاری..... ۱۳۲
- شکل ۲۹-۴: الگوی پراش نانوسيم های  $Fe_{100-x}Zn_x$  قبل از تابکاری..... ۱۳۳
- شکل ۳۰-۴: تغییر میدان وادارندگی نانوسيم های  $Fe_{100-x}Zn_x$  بر حسب دمای تابکاری..... ۱۳۵
- شکل ۳۱-۴: تغییر نسبت مربعی بودن نانوسيم های  $Fe_{100-x}Zn_x$  بر حسب دمای تابکاری..... ۱۳۵
- شکل ۳۲-۴: حلقه های پسماند نانوسيم Fe قبل و بعد از تابکاری در دمای  $350^{\circ}C$  ..... ۱۳۷
- شکل ۳۳-۴: حلقه های پسماند نانوسيم  $Fe_{95}Zn_5$  قبل و بعد از تابکاری در دمای  $350^{\circ}C$  ..... ۱۳۷
- شکل ۳۴-۴: حلقه های پسماند نانوسيم  $Fe_{90}Zn_{10}$  قبل و بعد از تابکاری در دمای  $350^{\circ}C$  ..... ۱۳۸
- شکل ۳۵-۴: الگوی پراش نانوسيم  $Fe_{95}Zn_5$  قبل و بعد از تابکاری در دمای  $350^{\circ}C$  ..... ۱۳۹
- شکل ۳۶-۴: الگوی پراش نانوسيم  $Fe_{90}Zn_{10}$  قبل و بعد از تابکاری در دمای  $350^{\circ}C$  ..... ۱۳۹
- شکل ۳۷-۴: میدان وادارندگی نانوسيم های آهن بر حسب فرکанс الکتروانباشت. .... ۱۴۰
- شکل ۳۸-۴: نسبت مربعی بودن نانوسيم های  $Fe_{90}Zn_{10}$  بر حسب فرکанс الکتروانباشت. .... ۱۴۰
- شکل ۳۹-۴: تغییر مغناطش در واحد سطح نانوسيم  $Fe_{90}Zn_{10}$  بر حسب فرکанс الکتروانباشت (قبل از تابکاری)..... ۱۴۱
- شکل ۴۰-۴: تغییر مغناطش در واحد سطح نانوسيم  $Fe_{90}Zn_{10}$  بر حسب فرکанс الکتروانباشت (بعد از تابکاری). .... ۱۴۱

## فهرست جداول

صفحه

عنوان

جدول ۲-۱: انرژی‌های ناهاسانگردی بلوری برای جهت‌های مختلف در یک کرستال بلور ..... ۳۵

جدول ۴-۱: مواد بکار رفته در تهییهٔ محلول‌های مورد نیاز برای انباشت با درصد‌های مولی متفاوت از آهن

و روی ..... ۱۲۶

جدول ۴-۲: مقدار ماده‌ی موجود در نمونه‌های  $\text{Fe}_{90}\text{Zn}_{10}$  بر حسب درصد وزنی و اتمی ..... ۱۳۲